

**Electrical conduits and connection arrangement for dental handpieces.**

Patent Number: EP0468297  
Publication date: 1992-01-29  
Inventor(s): BIERBAUM THOMAS DIPL-ING (DE)  
Applicant(s): SIEMENS AG (DE)  
Requested Patent: ☐ EP0468297, B1  
Application: EP19910111581 19910711  
Priority Number(s): DE19900010968U 19900724  
IPC Classification: A61C1/06 ; A61C1/18  
EC Classification: A61C1/06, A61C1/18  
Equivalents: ☐ DE9010968U

---

**Abstract**

---

The invention relates to an electrical conduit and contact arrangement in dental handpieces, containing, for the transfer of electrical energy from a supply point to a contact point of a consumer, an elongate conduit section at whose end directed towards the supply point there is at least one connection element and at whose end directed towards the contact point there is at least one contact element for diverting the energy to the consumer. In order to make the energy transfer in dental handpieces easier to assemble and safer to operate, it is proposed that the conduit section (7a, 8a, 9b), the connection element (7b, 8b, 9b) and the contact element (7c, 8c, 9c, 7d) should form an integral component (7, 8, 9) which is inherently rigid and thus assumes a carrier function. The component (7, 8, 9) can have several contact elements (7c, 7d, 7f) which branch off from the conduit section (7a, 8a, 9c) and which are preferably designed as contact rings.



---

Data supplied from the esp@cenet database - I2

(19)



Europäisches Patentamt

European Patent Office

Office européen des brevets

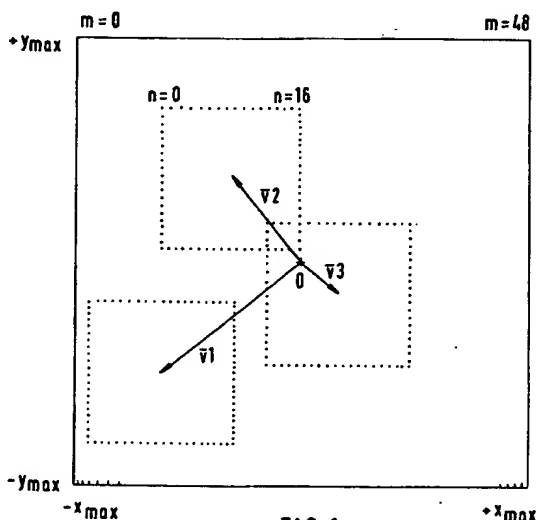
(11) Veröffentlichungsnummer: **0 468 279 A2**

(12)

**EUROPÄISCHE PATENTANMELDUNG**(21) Anmeldenummer: **91111477.5**(51) Int. Cl.<sup>5</sup>: **H04N 7/137**(22) Anmeldetag: **10.07.91**(30) Priorität: **24.07.90 DE 4023449**(43) Veröffentlichungstag der Anmeldung:  
**29.01.92 Patentblatt 92/05**(84) Benannte Vertragsstaaten:  
**AT BE CH DE ES FR GB IT LI NL**(71) Anmelder: **ANT Nachrichtentechnik GmbH**  
**Gerberstrasse 33**  
**W-7150 Backnang(DE)**(72) Erfinder: **Hildenbrand, Klaus, Dr.-Ing.**  
**Rosensteinstrasse 11**  
**W-7069 Berglen(DE)**  
Erfinder: **Mayer, Jörg, Dipl.-Ing.**  
**Obere Waiblinger Strasse 120**  
**W-7000 Stuttgart 50(DE)**(54) **Verfahren zum Bestimmen von Bewegungsvektoren für Teilbildbereiche einer Quellbildsequenz.**

(57) Bei der Bestimmung von Bewegungsvektoren für Teilbildbereiche einer Quellbildsequenz werden üblicherweise hierarchische Suchverfahren angewendet unter Verwendung eines Blockmatching-Fehlerkriteriums. Der in einem Suchschritt gefundene Bewegungsvektor wird in anschließenden Suchschritten als Startwert zur Verbesserung verwendet.

Bei der Erfindung werden in einem in der Auflösung reduzierten Bild mindestens zwei Bewegungsvektoren in einem ersten Suchschritt bestimmt, bei denen das Fehlerkriterium den kleinsten ist. Durch Interpolation werden diese Bewegungsvektoren auf Subpelgenauigkeit bestimmt und auf eine Größe gebracht, die für das nichtreduzierte Bild Gültigkeit hat. In einer kleinen Umgebung um diese Bewegungsvektoren und um den Nullvektor wird im zweiten Suchschritt die Suche verfeinert und jener Bewegungsvektor ermittelt für den das Fehlerkriterium den kleinsten Wert liefert.

**FIG.1****EP 0 468 279 A2**

Die Erfindung betrifft ein Verfahren zum Bestimmen von Bewegungsvektoren für Teilbildbereiche einer Quellbildsequenz.

Wenn bewegte Bilder über einen Übertragungskanal mit begrenzter Datenrate übertragen werden sollen, bedient man sich häufig sogenannter hierarchischer Blockmatching-Verfahren zur Erstellung von Bewegungsvektoren für Teilbildbereiche (Blöcke), aus denen nach der Übertragung die bewegten Bilder rekonstruiert werden können. Ausgehend von einem Referenzblock mit beispielsweise 16 x 16 Bildpunkten im aktuellen Quellbild wird dieser Referenzblock in einem Suchbereich von beispielsweise 48 x 48 Bildpunkten des zeitlich davor liegenden Bildes an alle Bildpunktpositionen dieses Suchbereiches gebracht. Für alle Bildpunktpositionen wird untersucht, wo die Übereinstimmung der Bildpunkte des Referenzblocks gegenüber den Bildpunkten des Suchbereiches am größten ist. Für diese Entscheidung bedient man sich eines Fehlerkriteriums - Matching-Kriteriums - z.B. der minimalen absoluten Differenz MAD (IEEE Proceedings, International Conference on Acoustics, Speech and Signal Processing, New York, USA 1987, Seite 1063 - 1066, Vol. 2).

Bei herkömmlichen Verfahren zur Bestimmung von Bewegungsvektoren, beispielsweise bei den in der EP 368 151 A2 angeführten Verfahren werden Bewegungsvektoren in mehreren Suchschritten bestimmt. Im ersten Suchschritt wird ein Bewegungsvektor in einem Bild mit nur grober Auflösung ermittelt, der dann als Startwert für den zweiten Suchschritt dient. Im zweiten Suchschritt wird der im ersten Suchschritt ermittelte Bewegungsvektor verbessert durch Feststellen des Fehlerminimums in seiner Umgebung in einem Bild mit höherer Auflösung. Gegebenenfalls kann der im zweiten Suchschritt ermittelte Bewegungsvektor nochmals verbessert werden durch Feststellen des Fehlerkriteriums in einem Bild noch höherer Auflösung.

Aufgabe der Erfindung ist es, ein Verfahren zum Bestimmen von Bewegungsvektoren für Teilbildbereiche einer Quellbildsequenz anzugeben, welches sich aufwandsarm durchführen läßt und welches Vektoren liefert, die tatsächliche Bewegungen beschreiben. Diese Aufgabe wird durch die Schritte des Anspruchs 1 gelöst. Die Unteransprüche zeigen vorteilhafte Weiterbildungen dieses Verfahrens auf.

Die Erfindung geht von folgenden Erkenntnissen aus:

Bei bisherigen Verfahren zur Bestimmung von Bewegungsvektoren ist es leicht möglich, daß nur ein lokales Minimum des Fehlerkriteriums gefunden wird und somit ein falscher Bewegungsvektor bestimmt wird. Um diese Unzulänglichkeit zu vermeiden, wäre es möglich, für alle Bildpunkte das Minimum des Fehlerkriteriums festzustellen. Dies würde aber zu einem unvermeidbaren Rechenaufwand führen, der außerdem für Echtzeitanwendungen ungeeignet ist. Durch das erfindungsgemäße Verfahren werden bei relativ geringem Rechen- bzw. Implementierungsaufwand schnell zuverlässige und hinreichend genaue Bewegungsvektoren bestimmt. Durch eine Filterung und eine Abstratenwandlung bei der Grobsuche im ersten Suchschritt werden Bilddetails, z.B. scharfe Kanten, nicht vollständig unterdrückt. Dies führt zu einer qualitativ besseren Bildrekonstruktion als bei jenen Verfahren, bei denen im ersten Suchschritt ein Teil von Bildpunkten völlig unberücksichtigt bleibt.

Anhand der Zeichnungen wird die Erfindung nun näher erläutert.

Es zeigen

Figur 1 einen Referenzblock von 16 x 16 Bildpunkten in einem Suchbereich von 48 x 48 Bildpunkten.

Figur 2 das Prinzip der Parabelinterpolation zur Bestimmung eines Bewegungsvektors auf Subpelgenauigkeit.

In Figur 1 ist ein Teilbildbereich einer Quellbildsequenz dargestellt mit einem Referenzblock des Bildes k der Größe n x n Bildpunkte, z.B. 16 x 16, an drei verschiedenen Suchpositionen innerhalb des Suchblocks der Größe m x m Bildpunkte, z.B. 48 x 48 eines zeitlich davor liegenden Bildes k-1 oder k-3 dargestellt. Für jede Suchposition des Referenzblocks im Suchblock werden für einen Teilbildbereich die "Displaced-Frame-Differenzen" DFD (Differenz eines Teilbildbereiches zu einem verschobenen Teilbildbereich des zeitlich vorangegangenen Bildes) auf übliche Weise nach folgender Beziehung für den Vektorbereich

$$-x_{\max} \leq x \leq +x_{\max} \text{ und}$$

$$-y_{\max} \leq y \leq +y_{\max}$$

bestimmt:

$$DFD(x, y) = \sum_{i=1}^n \sum_{j=1}^n |I_{k-1}(x+i, y+j) - I_k(i, j)|$$

wobei I den Amplitudenwert der Bildpunkte angibt und i, j die Laufparameter der Bildpunktkoordinaten

innerhalb des Referenzblocks. Die Bestimmung dieser DFD-Werte geschieht in einem ersten Suchschritt in einem Bild, welches gegenüber dem Quellbild durch Filterung und Abtastratenwandlung in der Auflösung reduziert ist. Es kann beispielsweise ein "Down-4-Bild" verwendet werden, d.h. ein Bild, welches gegenüber einem Quellbild in der Bandbreite und Auflösung um den Faktor 4 reduziert ist, also nur noch 1/4 der ursprünglichen Zeilen- und Bildpunkt-Zahl enthält. Aus den Displaced-Frame-Differenzen DFD wird ein Fehlerkriterium gewonnen, z.B. die minimale absolute Differenz MAD, die sich aus den DFD-Werten folgendermaßen ergibt:

$$\begin{aligned} \text{MAD} &= \min (\text{DFD}(x,y)) \text{ für} \\ 10 \quad -x_{\max} &\leq x \leq x_{\max} \\ -y_{\max} &\leq y \leq y_{\max} \end{aligned}$$

Mit diesem Fehlerkriterium werden nun jene drei Bewegungsvektoren  $\vec{v}_1$ ,  $\vec{v}_2$ ,  $\vec{v}_3$  ausgewählt, für die dieses Fehlerkriterium die kleinsten Werte liefert.

15 In Figur 1 sind diese drei Bewegungsvektoren kennzeichnend, ausgehend vom Zentrum des Suchblocks, dargestellt. Für die Position dieses Zentrums gilt, daß es bezogen auf das Zentrum des zeitlich davor liegenden Bildes unverschoben ist und ihm deshalb der "Nullvektor" zugeordnet wird. Die so ausgewählten drei Bewegungsvektoren  $\vec{v}_1$ ,  $\vec{v}_2$ ,  $\vec{v}_3$  werden nun auf Subpelgenauigkeit bestimmt, beispielsweise durch Parabelinterpolation, jeweils mittels der Displaced-Frame-Differenz DFD für den ausgewählten Bewegungsvektor und den Werten der Displaced-Frame-Differenz DFD benachbarter Bildpunkte. Diese Parabelinterpolation für Bewegungsvektoren ist an sich aus Fortschritts-Berichte, VDI Reihe 10, Nr. 51, Düsseldorf 1986; Beyer, Siegfried; "Displacement-Schätzverfahren für Fernsehbildsignale mit minimaler Schätzvarianz", insbesondere Seiten 80 - 84 bekannt, wird aber hier nochmals kurz erläutert. Nach der Berechnung der DFD-Werte, eines  $n \times n$  Referenzblocks aus dem Quellbild  $k$  in einem  $m \times m$  Suchblock des Quellbildes  $k-1$  stehen anschließend  $m^2$  berechnete DFD-Werte zur Verfügung. Die Lage des DFD-Minimums ergibt dann den Verschiebevektor  $V(x_m, y_m)$  mit den ganzzahligen Komponenten  $x_m$ ,  $y_m$ . Für die Bewegungskompensation kann aber eine Subpelgenauigkeit erforderlich sein, sodaß die Vektoren genauer bestimmt werden müssen.

Ausgehend von der Annahme, daß das DFD-Minimum um den Tiefpunkt einen parabelförmigen Verlauf besitzt, wird aus dem gefundenen Minimumwert  $FD_0$  und dessen vier Umgebungspunkten ( $FD_1, \dots, FD_4$ ) eine Parabelinterpolation verwendet. Die vier Umgebungswerte sind dabei wie folgt angeordnet:

$$\begin{array}{ccccc} & & FD_1 & & \\ & FD_2 & FD_0 & FD_3 & \\ 35 & & FD_4 & & \end{array}$$

Die folgende Beschreibung wird nur für die x-Richtung vorgenommen und gilt genauso für die y-Richtung, wenn die Werte wie folgt ersetzt werden (Figur 2):

$$\begin{array}{ccc} FD_1 & \# & FD_2 \\ FD_4 & \# & FD_3 \\ 45 & y & \# \quad x. \end{array}$$

Entsprechend der oben genannten Annahme eines parabelförmigen Verlaufs um das DFD-Minimum wird eine Funktion 2. Ordnung der folgenden Form verwendet:

$$50 \quad y = ax^2 + bx + c \quad (1)$$

Durch Einsetzen der drei Punkte  $(-1, FD_2)$ ,  $(0, FD_0)$  und  $(1, FD_3)$  sind die Koeffizienten  $a$ ,  $b$ ,  $c$  von (1) bestimmbar:

$$\begin{aligned} 55 \quad c &= FD_0 \\ a &= 0.5[FD_2 + FD_3 - 2FD_0] \\ b &= 0.5[FD_3 - FD_2] \quad (2) \end{aligned}$$

Aus der Ableitung von Gleichung (1) kann der Ort  $x_s$  des Minimums bestimmt werden:

$$y' = 2ax + b$$

mit dem Minimum für  $y' = 0$ :

$$x_s = -\frac{b}{2a} = \frac{-(FD_3 - FD_2)}{2(FD_2 + FD_3 - 2FD_0)} = \frac{FD_2 - FD_3}{2(FD_2 + FD_3 - 2FD_0)}$$

wobei  $|x_s| < 1$  ist und entsprechend den Anforderungen z.B. auf 0,2 pel Genauigkeit, gerundet wird.

Der interpolierte Vektor  $\bar{V}$  besitzt dann die Komponenten  $(x_m + x_s, y_m + y_s)$ .

Die nun auf Subpelgenauigkeit bestimmten drei Bewegungsvektoren werden nun mit einem der vorherigen Reduzierung entsprechenden Faktor multipliziert, um Bewegungsvektoren zu erhalten, die für das in der Auflösung nichtreduzierte Quellbild Gültigkeit haben.

In einem zweiten Suchschritt werden im nichtreduzierten Quellbild jeweils im Bereich der drei ermittelten Bewegungsvektoren, z.B. in einer kleinen Umgebung von  $\pm 2$  pel, die minimalen Werte des Fehlerkriteriums ermittelt. Zusätzlich werden in einer kleinen Umgebung von beispielsweise wiederum  $\pm 2$  pel um den Nullvektor entsprechende Werte ermittelt. Aus den vier Suchvorgängen wird der kleinste aller so bestimmten minimalen Werte des Fehlerkriteriums ausgewählt und der zu diesem Wert gehörige Bewegungsvektor als Bewegungsvektor für den ganzen Teilbildbereich beispielsweise für die Übertragung der Bildsequenz bereitgestellt. Falls der Bewegungsvektor für den Teilbildbereich genauer bestimmt werden muß, wird nochmals eine Parabelinterpolation auf die zuvor geschilderte Art und Weise vorgenommen und der Bewegungsvektor auf beispielsweise 0.5 pel Genauigkeit bestimmt.

Bei nur kleinen Displaced-Frame-Differenzen DFD, die zur Bestimmung der MAD berechnet werden müssen, können aufgrund von rauschbehafteten Vorlagen Vektoren gefunden werden, die zwar das MAD-Kriterium erfüllen, die jedoch nicht der wahren Bewegung entsprechen. Um für solche Fälle die Tendenz zum Finden kleiner Vektoren oder des Nullvektors zu erhöhen, wird dem DFD-Wert der einzelnen Suchpositionen ein Grundoffset überlagert, dessen Größe mit wachsendem quadratischen Abstand ( $x^2 + y^2$ ) vom Nullvektor ausgehend zunimmt und damit an den Eckpositionen, z.B. bei Vektor  $x_{\max}, y_{\max}$ , seinen Maximalwert  $W_{\max}$  annimmt. Dies entspricht einem Bonus für kleine Vektoren, wodurch speziell bei rauschbehafteten Bildvorlagen verbesserte Ergebnisse erzielt werden.

Trotz dieser Maßnahmen kann bei ruhenden Bildteilen - richtiger Vektor ist Nullvektor - aufgrund des Rauschens ein kleiner Vektor gefunden werden. Es ist deshalb sinnvoll, die in der Vergangenheit als Nullvektoren gefundenen Vektoren mit ihrer Framedifferenz  $FD = FD_0$  zur Berechnung einer adaptiven Schwelle  $S$  heranzuziehen, um neu berechnete  $FD$ -Werte  $FD_{0n}$  an der Stelle ( $x = 0, y = 0$ ) dann sofort als absolutes Minimum zu bezeichnen, wenn gilt:

$$FD_{0n} < S.$$

Die Suche an weiteren Positionen kann damit für diesen Block abgebrochen werden; es wurde der Nullvektor gefunden.

Falls diese Bedingung nicht erfüllt ist, wird die zuvor beschriebene Suchmethode durchgeführt, wobei auch ein Nullvektor mit  $FD > S$  gefunden werden kann.

Die adaptive Schwelle wird dann mit jedem gefundenen Nullvektor nachgeführt, wenn seine Framedifferenz  $FD$  die Bedingung

$$FD < \mu \cdot S$$

erfüllt, wodurch eine zu starke Veränderung der Schwelle bei Bildänderungen, die nicht durch eine translatorische Bewegung entstanden sind, vermieden wird. Der Faktor  $\mu$  wird vorteilhafterweise zwischen 4 und 16, z.B. 8, gewählt. Die Nachführung der Schwelle erfolgt nach folgender Beziehung:

$$S_{\text{neu}} = ((\mu = 1) \cdot S_{\text{alt}} + FD_0) / \mu$$

mit z.B.  $r = 8$ .

Da der Wert  $S$  ein Maß für den Rauschbelag des Bildes darstellt, kann damit auch der Grundoffset  
 5  $W_{\max}$  adaptiv an den Rauschbelag angeglichen werden.

Bisher wurden bei der Suche immer drei Bewegungsvektoren mit minimalem Fehlerkriterium ausgewählt. Bei weniger hohen Ansprüchen an die Zuverlässigkeit bei der Bestimmung des Bewegungsvektors für einen Teilbildbereich können bei der Suche auch nur zwei Bewegungsvektoren mit minimalem Fehlerkriterium ausgewählt werden.

10 Als Fehlerkriterium kann anstelle der mittleren absoluten Differenz (MAD) auch der mittlere quadratische Fehler (MQF), vgl. EP 0 368 151 A2, oder ein anderes brauchbares Fehlerkriterium verwendet werden.

### Patentansprüche

- 15 1. Verfahren zum Bestimmen von Bewegungsvektoren für Teilbildbereiche einer Quellbildsequenz unter Anwendung folgender Schritte:
  - a) Suchen von mindestens zwei Bewegungsvektoren für Bildpunkte in einem Teilbildbereich eines Bildes, welches bezüglich des Quellbildes durch Filterung und Abtastratenwandlung in der Auflösung reduziert ist, wobei bei der Suche jene Bewegungsvektoren anhand eines insbesondere aus den  
 20 Differenzen eines Teilbildbereichs zu einem verschobenen Teilbildbereich des vorangegangenen Bildes gewonnenen Fehlerkriteriums für die Bewegung, z.B. der minimalen absoluten Displaced-Frame-Differenz (MAD), ausgewählt werden, für die das Fehlerkriterium die kleinsten Werte annimmt,
  - b) Bestimmen der mindestens zwei ausgewählten Bewegungsvektoren auf Subpelgenauigkeit durch  
 25 Interpolation, z.B. Parabelinterpolation, jeweils mittels des Wertes des Fehlerkriteriums für den ausgewählten Bewegungsvektor und den Werten des Fehlerkriteriums benachbarter Bildpunkte,
  - c) Ermitteln von Bewegungsvektoren, die für das in der Auflösung nicht reduzierte Quellbild Gültigkeit haben, indem die auf Subpelgenauigkeit bestimmten Bewegungsvektoren mit einem der Reduzierung entsprechenden Faktor multipliziert werden,
  - 30 d) Suchen von minimalen Werten des Fehlerkriteriums im nicht reduzierten Quellbild im Umgebungs-Bereich der ermittelten Bewegungsvektoren und im Umgebungs-Bereich jener Position des Teilbildbereichs, die bezogen auf das zeitlich davor liegende Quellbild unverschoben ist (Nullvektor),
  - e) Auswählen des kleinsten aller so bestimmten minimalen Werte des Fehlerkriteriums und Bereit-  
 35 stellen des zu diesem kleinsten Wert gehörigen Bewegungsvektors als Bewegungsvektor des Teilbildbereiches.
2. Verfahren nach Anspruch 1, dadurch gekennzeichnet, daß der bereitgestellte Bewegungsvektor des Teilbildbereiches auf Subpelgenauigkeit durch Interpolation, z.B. Parabelinterpolation, seines Wertes  
 40 des Fehlerkriteriums und den Werten des Fehlerkriteriums benachbarter Bildpunkte bestimmt wird.
3. Verfahren nach Anspruch 1 oder 2, dadurch gekennzeichnet, daß im Schritt a) des Anspruchs 1 genau drei Bewegungsvektoren für Bildpunkte im Teilbildbereich ausgewählt werden.
- 45 4. Verfahren nach einem der Ansprüche 1 bis 3, dadurch gekennzeichnet, daß ausgehend von der unverschobenen Position des Teilbildbereichs, eine hinsichtlich wachsender Entfernung von dieser Position innerhalb des Teilbildbereichs größer werdende Bewertung der Displaced-Frame-Differenzen einander entsprechender Bildpunkte vorgenommen wird.
- 50 5. Verfahren nach Anspruch 4, dadurch gekennzeichnet, daß die Bewertung mit wachsendem quadratischen Abstand von der unverschobenen Position vergrößert wird.
6. Verfahren nach einem der Ansprüche 1 bis 4, dadurch gekennzeichnet, daß die zu den unverschobenen Positionen zeitlich zuvor gelegener Quellbilder gehörigen Displaced-Frame-Differenzen zur Berechnung einer adaptiven Schwelle herangezogen werden, daß neu ermittelte Displaced-Frame-Differenzen  
 55 für die unverschobene Position von Quellfolgebildern dann als absolutes Minimum ausgewählt werden, wenn deren ermittelte Displaced-Differenzen unter dieser Schwelle liegen, und daß in letzterem Falle die Suche nach weiteren Bewegungsvektoren für die das Fehlerkriterium in diesem Teilbildbereich

kleinste Werte annimmt, abgebrochen wird.

7. Verfahren nach Anspruch 6, dadurch gekennzeichnet, daß die Schwelle nach folgender Beziehung nachgeführt wird:

$$S_{\text{neu}} = ((\nu-1) \cdot S_{\text{alt}} + FD_0) / \nu,$$

wobei  $\nu$  insbesondere zwischen 4 und 16 liegt, und  $FD_0$  die ermittelte Frame-Differenz für die unverschobene Position des jeweiligen Teilbildbereichs im aktuellen Quellbild ist und  $S_{\text{alt}}$  die zuvor ermittelte adaptive Schwelle.

8. Verfahren nach Anspruch 4 oder 5 und einem der Ansprüche 6 oder 7, dadurch gekennzeichnet, daß entsprechend der Höhe der ermittelten adaptiven Schwelle der Faktor bei der Bewertung der Displaced-Frame-Differenzen ausgehend von der unverschobenen Position angeglichen wird.

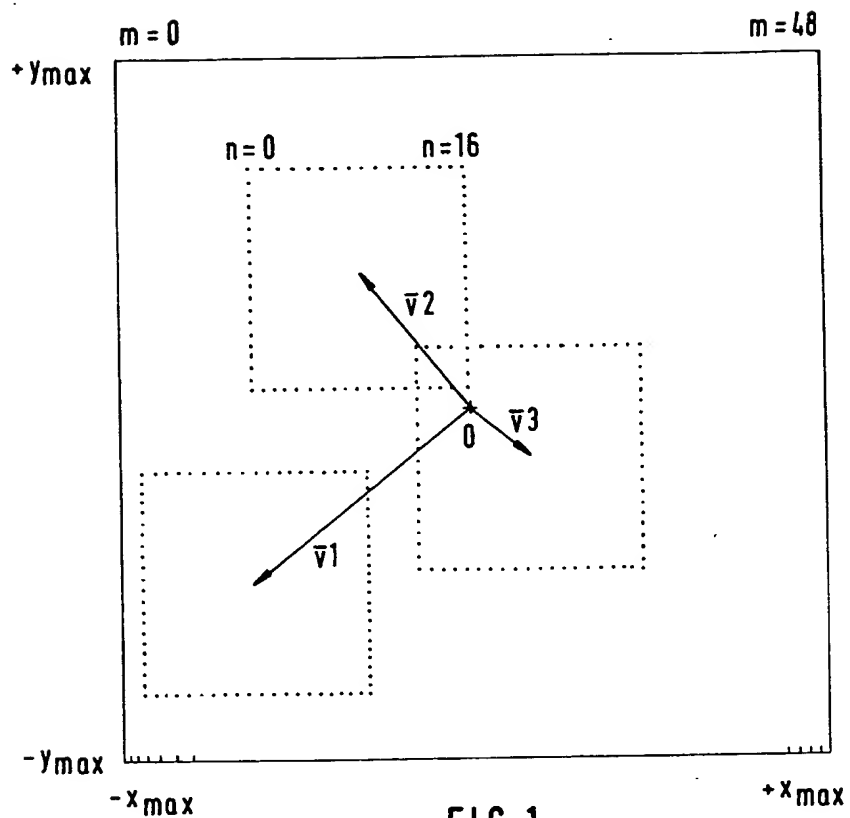


FIG. 1

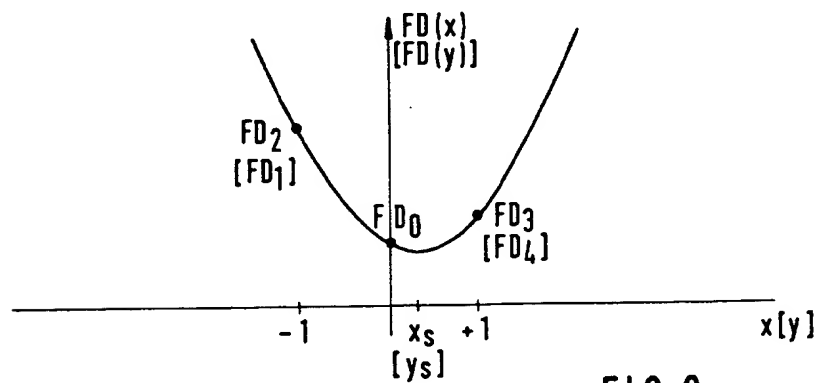


FIG. 2





Europäisches Patentamt  
European Patent Office  
Office européen des brevets



Veröffentlichungsnummer: **0 468 279 A3**

(12)

## EUROPÄISCHE PATENTANMELDUNG

(21) Anmeldenummer: 91111477.5

(51) Int. Cl.<sup>5</sup>: H04N 7/137

(22) Anmeldetag: 10.07.91

(30) Priorität: 24.07.90 DE 4023449

(43) Veröffentlichungstag der Anmeldung:  
29.01.92 Patentblatt 92/05

(84) Benannte Vertragsstaaten:  
AT BE CH DE ES FR GB IT LI NL

(88) Veröffentlichungstag des später veröffentlichten  
Recherchenberichts: 09.12.92 Patentblatt 92/50

(71) Anmelder: **ANT Nachrichtentechnik GmbH**  
Gerberstrasse 33  
W-7150 Backnang(DE)

(72) Erfinder: **Hildenbrand, Klaus, Dr.-Ing.**  
Rosensteinstrasse 11  
W-7069 Berglen(DE)  
Erfinder: **Mayer, Jörg, Dipl.-Ing.**  
Obere Waiblinger Strasse 120  
W-7000 Stuttgart 50(DE)

(54) Verfahren zum Bestimmen von Bewegungsvektoren für Teilbildbereiche einer Quellbildsequenz.

(57) Bei der Bestimmung von Bewegungsvektoren für Teilbildbereiche einer Quellbildsequenz werden üblicherweise hierarchische Suchverfahren angewendet unter Verwendung eines Blockmatching-Fehlerkriteriums. Der in einem Suchschritt gefundene Bewegungsvektor wird in anschließenden Suchschritten als Startwert zur Verbesserung verwendet.

Bei der Erfindung werden in einem in der Auflösung reduzierten Bild mindestens zwei Bewegungsvektoren in einem ersten Suchschritt bestimmt, bei denen das Fehlerkriterium den kleinsten ist. Durch Interpolation werden diese Bewegungsvektoren auf Subpelgenauigkeit bestimmt und auf eine Größe gebracht, die für das nichtreduzierte Bild Gültigkeit hat. In einer kleinen Umgebung um diese Bewegungsvektoren und um den Nullvektor wird im zweiten Suchschritt die Suche verfeinert und jener Bewegungsvektor ermittelt für den das Fehlerkriterium den kleinsten Wert liefert.

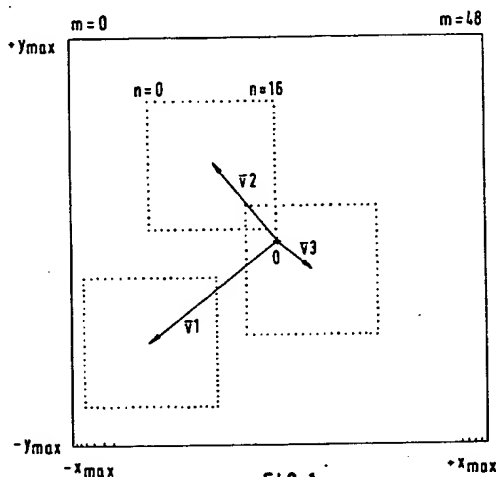


FIG.1

EP 0 468 279 A3



Europäisches  
Patentamt

# EUROPÄISCHER RECHERCHENBERICHT

Nummer der Anmeldung

EP 91 11 1477

Seite 1

EINSCHLÄGIGE DOKUMENTE		
Kategorie	Kennzeichnung des Dokuments mit Angabe, soweit erforderlich, der maßgeblichen Teile	Betrifft Anspruch
A	FOURTH INTERNATIONAL COLLOQUIUM ON ADVANCED TELEVISION SYSTEMS 25. Juni 1990, OTTAWA(CA) Seiten 3B.3.1 - 3B.3.19 E. DUBOIS ET AL. 'Review of Techniques for Motion Estimation and Motion Compensation' * Seite 3B.3.9, Zeile 18 - Zeile 38 * ---	1
A	SPIE Bd. 1001, 1988, Seiten 942 - 951 M. BIERLING 'Displacement estimation by hierarchical blockmatching' * Seite 943, Zeile 37 - Seite 947, Zeile 36 * ---	1,2
A	IEEE TRANSACTIONS ON COMMUNICATIONS Bd. 38, Nr. 4, April 1990, NEW YORK US Seiten 477 - 486 P. STROBACH 'Tree-Structured Scene Adaptive Coder' * Seite 483, Spalte 1, Zeile 14 - Spalte 2, Zeile 29; Abbildung 10 * ---	1
A	US-A-4 937 666 (YANG) * Spalte 5, Zeile 10 - Spalte 7, Zeile 35; Abbildungen 1-5 * ---	1,2
A	US-A-4 838 685 (MARTINEZ ET AL.) * Spalte 5, Zeile 40 - Spalte 6, Zeile 23; Abbildungen 1,2 * ---	1
A	EP-A-0 348 207 (MATSUSHITA ELECTRIC INDUSTRIAL CO) * Seite 4, Zeile 4 - Zeile 61 * * Seite 6, Zeile 11 - Seite 7, Zeile 21 * * Seite 8, Zeile 4 - Zeile 6; Abbildungen 1,2A,2B,8 * ---	1,2
Der vorliegende Recherchenbericht wurde für alle Patentansprüche erstellt		
Recherchenort DEN HAAG	Abschlußdatum der Recherche 08 OKTOBER 1992	Prüfer VERLEYE J.
<b>KATEGORIE DER GENANNTEN DOKUMENTE</b> X : von besonderer Bedeutung allein betrachtet Y : von besonderer Bedeutung in Verbindung mit einer anderen Veröffentlichung derselben Kategorie A : technologischer Hintergrund O : mündliche Offenbarung P : Zwischenliteratur I : der Erfindung zugrunde liegende Theorien oder Grundsätze E : älteres Patentdokument, das jedoch erst am oder nach dem Anmeldedatum veröffentlicht worden ist D : in der Anmeldung angeführtes Dokument L : aus andern Gründen angeführtes Dokument A : Mitglied der gleichen Patentfamilie, übereinstimmendes Dokument		



Europäisches  
Patentamt

## EUROPÄISCHER RECHERCHENBERICHT

Nummer der Anmeldung

EP 91 11 1477

Seite 2

EINSCHLÄGIGE DOKUMENTE			
Kategorie	Kennzeichnung des Dokuments mit Angabe, soweit erforderlich, der maßgeblichen Teile	Betrifft Anspruch	KLASSIFIKATION DER ANMELDUNG (Int. Cl.5)
A	FREQUENZ Bd. 43, Nr. 3, März 1989, BERLIN DE Seiten 86 - 96 M. GILGE ET AL. 'Codierung von farbigen Bewegtbildszenen mit 64 kbit/s- Ein neuer Ansatz zur Verwirklichung eines Bildtelefons im ISDN (Teil I)' * Seite 90, Spalte 1, Zeile 29 - Seite 93, Spalte 1, Zeile 25; Abbildungen 2-6 *	1,4,6	
P,A	EP-A-0 420 653 (VICTOR COMPANY OF JAPAN LTD) * Spalte 7, Zeile 24 - Spalte 12, Zeile 7; Abbildungen 2A-7D *	1	
P,A	SIGNAL PROCESSING. IMAGE COMMUNICATION Bd. 3, Nr. 1, Februar 1991, AMSTERDAM NL Seiten 3 - 21 M.H. AHMAD ET AL. 'Video Subband VQ Coding at 64 kbit/s Using Short-Kernel Filter Banks with an Improved Motion Estimation Technique' * Seite 6, Spalte 1, Zeile 14 - Seite 7, Spalte 2, Zeile 25; Abbildung 3 *	1	
			RECHERCHIERTE SACHGEBIETE (Int. Cl.5)
Der vorliegende Recherchenbericht wurde für alle Patentansprüche erstellt			
Recherchenamt DEN HAAG		Abschlußdatum der Recherche 08 OKTOBER 1992	Prüfer VERLEYE J.
<b>KATEGORIE DER GENANNTEN DOKUMENTE</b> X : von besonderer Bedeutung allein betrachtet Y : von besonderer Bedeutung in Verbindung mit einer anderem Veröffentlichung derselben Kategorie A : technologischer Hintergrund P : nichtschriftliche Offenbarung F : Zwischenliteratur T : der Erfindung zugrunde liegende Theorien oder Grundsätze E : älteres Patentdokument, das jedoch erst am oder nach dem Anmeldedatum veröffentlicht worden ist D : in der Anmeldung angeführtes Dokument L : aus andern Gründen angeführtes Dokument * : Mitglied der gleichen Patentfamilie, übereinstimmendes Dokument			